

砂鉄を得んとするものである。

今、本研究によつて得られた結果の主なるものを摘記すれば次の如くである。

(1) Magnetite-Ulvöspinel 間においては全域に亘つて solid solution を形成し、しかも磁性は magnetite の磁性を最高として直線的に下ることが認められた。

(2)  $\text{Fe}_2\text{TiO}_4$ - $\text{FeO}$  間においては solid solution を造らず、また磁性物質も造らない。

(3)  $\text{Fe}_2\text{TiO}_4$ - $\text{FeTiO}_3$  間においては solid solution を形成せず磁性物も認められない。

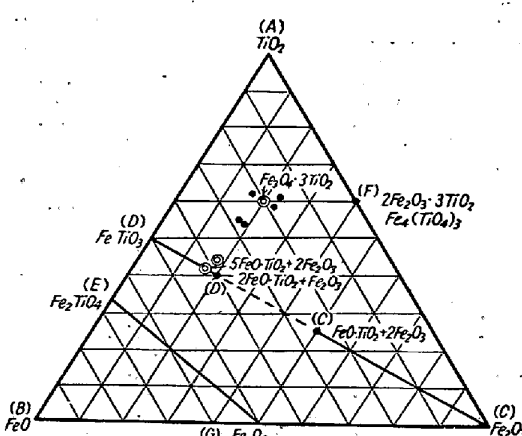
(4) Ilmenite-Rutile 間では compound を造らずまた磁性物もない。

(5) Hematite-Rutile 間では只一つの compound  $2\text{Fe}_2\text{O}_3 \cdot 3\text{TiO}_2$  ferric titanate の生成が確認されたが solid solution を造らず磁性物もない。

(6) Ilmenit-Hematite 間においては大体において solid solution を造るが limited solution が存在し附図において一つの limited solution ( $D'$ ) ( $2\text{FeO} \cdot \text{TiO}_2 + \text{Fe}_2\text{O}_3$ ) の附近において強磁性を示すことが分った。

(7) 北海道能取産の磁性砂鉄中に普通の含チタンmagnetite の外に磁性を有する高チタン化合物が発見された。恰もその成分は  $(5\text{FeO} \cdot \text{TiO}_2 + 2\text{Fe}_2\text{O}_3)$  に近く一つの鉱物として取扱われるべきものでこれを magilmenite 磁チタン鉄鉱と名づけた。

(8) 化学組成よりは上記の magilmenite と別個の位置即ち大体 ilmenite と ferric titanate の中間附近に位するもので磁性を持つものが酸化焙焼により生成され、あだかも  $\text{Fe}_3\text{O}_4 \cdot 3\text{TiO}_2$  の如き成分のものが比較的強



Composition range of the magnetic ilmenite in the equilibrium diagram of  $\text{FeO}-\text{TiO}_2-\text{Fe}_2\text{O}_3$  system.

い磁性を有することが見出された。

(9) 熱磁分離法により高チタン砂鉄中の磁性部分より相当量の磁チタン鉄鉱を分別することができ新たなチタン資源とすることができこの種砂鉄中の magnetite のチタン分を少くし製鉄用に適するものとすることことができた。

(10) 噴火湾地帯の如き所謂低チタン砂鉄中の magnetite に熱磁分離法を適用した結果相当チタン分を低下することができた。なお此種砂鉄中にも上記の magilmenite が少量はあるが存在していることが認められた。

## (52) 鉄鉱石の $\text{H}_2$ ガスによる標準還元試験法に就て

(小塊試料)

On the Standard Reducibility Test of Iron Ores by  $\text{H}_2$

Kenjiro Kanbara, et alii.

富士製鉄 K.K.

工博 鵜野達二

工 高橋愛和

○工 神原健二郎

### I. 緒言

鉄鉱石の被還元性については過去において数多くの研究が発表されているが各鉱石の被還元性の良否を検討する場合、還元温度、還元ガスの種類および流量、鉱石の粒度等によりその結果が異り実験者或いは装置の異つたものについては比較が困難である。茲に標準となる鉄鉱石の標準還元試験方法が必要となり学振 54 委員会においてもこの問題が取り上げられ検討が行われている次第である。著者らは大規様な装置を必要とせず簡単に得る事を目的とし  $\text{H}_2$  ガスを用い小塊少量試料により還元条件を種々変えて実験を行い、その結果に基づき最も適当と思われる条件を求めた。

### II. 実験装置

装置の概略を Table 1 に示す。反応管は内径  $32\text{mm}\phi$  長さ  $360\text{mm}$  ポートは  $70 \times 21 \times 7\text{mm}$  で共に透明石英管製である。還元により発生せる水分を吸収するための U 字管は内径  $10\text{mm}\phi$ 、高さ約  $120\text{mm}$  のものを用い吸収剤として  $1\text{mm}$  粒の良質  $\text{CaCl}_2$  およびシリカゲルを用いた。

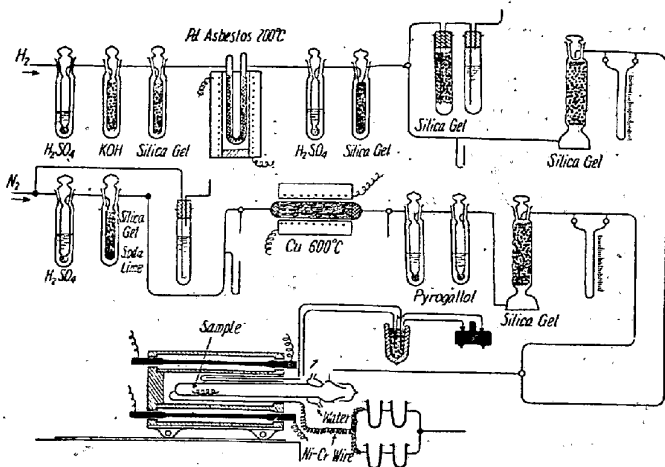


Fig. 1

### III. 操 作

省略

### IV. 試 料

褐鉄鉱、赤鉄鉱、磁鉄鉱の数種を選び 50~70mm の塊状のものを破碎し 4~5mesh, 10~20mesh のものを分別しこれを 120°C で 2 時間乾燥後デシケーター中に保存し 1 回の実験に 1g, 2.5g, 5g を採取した。

### V. 還元率算出法

#### i) 鉱石中の全酸素量

鉱石中の全酸素量を求める方法は種々考えられるが同一鉱石でも試料によりその酸素含有量に著しい差を生ずるので、試験を行う試料自体の全酸素量を直接求める事が望ましい。この意味において一定条件で還元後更に温度を 1000°C に保ち還元を完了せしめ、これより全酸素量を求める方法が適切と考え本実験においてはこの方式を採用した。

#### ii) 還元率

還元により発生した H<sub>2</sub>O を一定時間毎に定量しこれから試料より除去された酸素量を計算し、次式により還元率を求めた。

$$\text{還元率} = \frac{\text{除去した酸素量}}{\text{全酸素量}} \times 100 (\%)$$

### VI. 実 験 結 果

#### i) 温度による影響

磁鉄鉱では 1000°C, 900°C では被還元性よく 800°C に至ると急に低下しておりこの傾向は粒度の大となる程また同じ粒度では流量の小なる程増大している。赤鉄鉱、褐鉄鉱では 800°C~1000°C で大差ない。

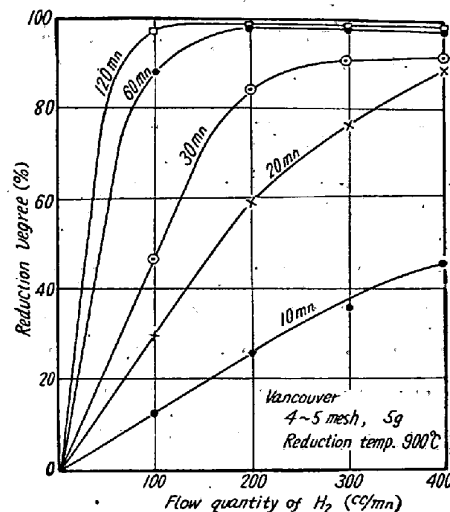


Fig. 2.

#### ii) 流量による影響

Fig. 2 は一定時間後の還元率が流量により変化する状態の一例（バンクーバー鉱石、試料 4~5 mesh, 5g、還元温度 900°C）を示したものである。還元開始後一定時間における還元率は流量の増加に伴い増大するが或る一定流量以上ではもはや流量を増加しても還元率は増加しなくなる。この流量をその時間における限界流量と仮に定義するならこの場合 2 時間後では限界流量 100cc/mn, 1 時間後で 200cc/mn, 30 分後で 300cc/mn と還元時間の短くなるにつれ限界流量は増加し還元時間 20 分, 10 分では 0~400cc/mn の範囲で還元率は流量の増加につれ直線的に増加している。

標準流量をいくらかは鉱石の被還元性の表示法と関連を有する事で若し一定時間後の還元率を以て表示するとして 2 時間後を選ぶなら Fig. 2 の場合流量は 100cc/mn 以上ならいくらでもよい事になる。また短時間後の還元率を以て示す場合、流量はできるだけ大とする方が測定誤差が少い事になる。然し装置により制限をうける時は低流量を選ばざるを得ない訳でこの場合所定流量をできる限り正確に保たねばならない。

以上は 1 例について述べたのであるが他の場合においても同様の傾向を示し、そして粒度の小となる程また同条件では試料採取量の少いもの程夫々の時間における限界流量は小さくなっている。

#### iii) 粒度による影響

10~20mesh と 4~5mesh を比較し前者が良好な還元率を示し 800°C においてその差が大きく温度上昇するに従い差は減少し 1000°C では僅少の差を示すに過ぎない。

